

КВАНТОВА ИНФОРМАТИКА, ЛЕКЦИЯ 11 / 22.12.2021

**КОРЕКЦИИТЕ И ДОПЪЛНЕНИЯТА СПРЯМО ПРЕДХОДНАТА ВЕРСИЯ
СА ПОСТАВЕНИ В ЛИЛАВ ЦВЯТ - ТЕ СА НА СТР. 2, 3 и 4**

Алгоритъм за търсене на Grover

(ВИЖ СЪЩО: http://theor.inria.fr/~mitov/qz1/notes_dfl4q2tb3/NC2010.pdf
 Nielsen M.A., Chuang I.L., Quantum Computation and Quantum Information, 10th Anniversary Edition. 6.1 / СТР. 248-256)

Вход на алгоритма – функция $f: \{0, \dots, N-1\} \rightarrow \{0, 1\}$ ($N = 2^n$)

Изход на алгоритма: решение $\ell \in \{0, \dots, N-1\}$ на условието $f(\ell) = 1$

В случаи когато сложността на f ("изчислителното време") има асимптотичен рост на полином от $n = \log N$, тогава намирането на решение на $f(\ell) = 1$ може да изисква до $N = 2^n$ – проверки. Квантовият алгоритъм ускорява това до изчислително време $\sim \sqrt{N} = 2^{\frac{n}{2}}$.

Например, нека L е n -битово двоично число, т.е., $\frac{N}{2} < L < N$ и

$$f(\ell) (= f_L(\ell)) = \begin{cases} 1 & \text{ако } \ell \text{ дели } L \\ 0 & \text{ако } \ell \text{ не дели } L \end{cases}$$

Тогава намирането на решение ℓ на $f(\ell) = 1$ е \Leftrightarrow намиране на делител ℓ на L .

За деление на n -битови числа сложността ("изчислителното време") варира при известните алгоритми между $O(n \log n)$ и $O(n^2)$.

Последователното състобане изисква $\sim N = 2^n$ проби (за проблема за факторизация има и по-брзи квантни алгоритми, но отново с експоненциален рост).

Илюстрация на броят ръст на експонентата: редене на оризови зърна върху чамагтина дъска с удвоаване на всяка стъпка: 2^n зърна на n -то поле.

$$2^0 = 1 \quad 2^1 = 2 \quad 2^2 = 4 \quad 2^3 = 8$$

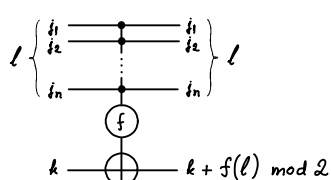
Ако приемем, че всеко зърно е ~ 1 mm широко, то колоната на n -то поле ще бъде

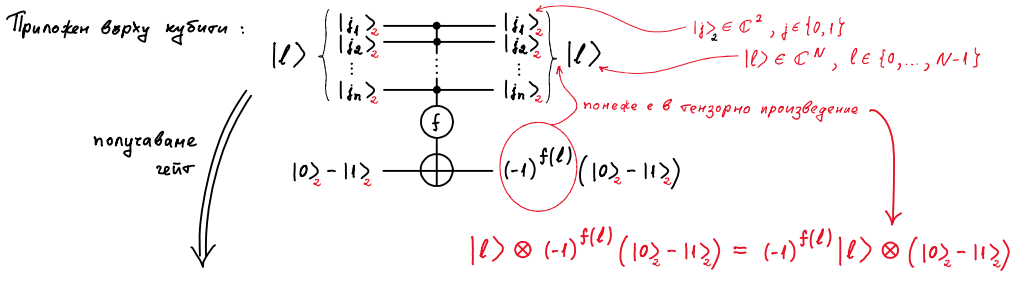
n	дължина
10	2^{10} mm > 1 м.
20	2^{20} mm > 1 км.
30	2^{30} mm $>$ обиколката на Земята
64	2^{64} mm > 1 светлинна година
+40	2^{104} mm $>$ размера на видимата Вселена

Изисквания за постигане на по-добра ефикасност

ако $M := \#\{ \ell \mid f(\ell) = 1 \}$, то трябва $M \ll N$.

Функцията f е вградена в квантеския цикъл:





$$|l\rangle \left\{ \begin{array}{c} |i_1\rangle_2 \\ |i_2\rangle_2 \\ \vdots \\ |i_n\rangle_2 \end{array} \right. \xrightarrow{O_f} \left\{ \begin{array}{c} |i_1\rangle_2 \\ |i_2\rangle_2 \\ \vdots \\ |i_n\rangle_2 \end{array} \right. (-1)^{f(l)}|l\rangle$$

Геометрична интерпретация: нека въведем векторите $\Psi' := \sum_{\ell=0}^{N-1} |\ell\rangle$

$$\Psi'_{(0)} := \sum_{f(\ell)=0} |\ell\rangle, \quad \Psi'_{(1)} := \sum_{f(\ell)=1} |\ell\rangle, \quad \Psi' = \Psi'_{(0)} + \Psi'_{(1)}, \quad \Psi'_{(0)} \perp \Psi'_{(1)},$$

но тези вектори не са нормирани: $\|\Psi'\|^2 = \sum_{\ell=0}^{N-1} \|\ell\rangle\|^2 = N$

↑ орто нормиран базис

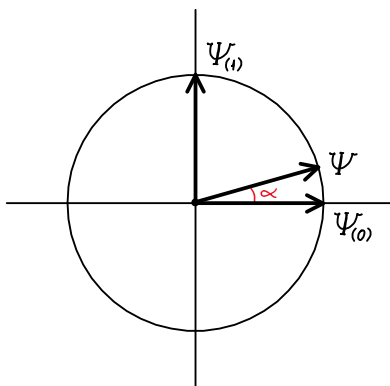
$$\Rightarrow \|\Psi'\| = \sqrt{N} \equiv 2^{\frac{n}{2}}. \quad \Rightarrow \Psi := \frac{1}{\|\Psi'\|} \Psi' = \frac{1}{\sqrt{N}} \sum_{\ell=0}^{N-1} |\ell\rangle \text{ е единичен}$$

$$\text{Аналогично: } \|\Psi'_{(1)}\| = \sqrt{M}, \quad \|\Psi'_{(0)}\| = \sqrt{N-M}.$$

$$\Psi_{(0)} := \frac{1}{\sqrt{N-M}} \sum_{f(\ell)=0} |\ell\rangle, \quad \Psi_{(1)} := \frac{1}{\sqrt{M}} \sum_{f(\ell)=1} |\ell\rangle \text{ - единични вектори}$$

$$\Rightarrow \Psi = \underbrace{\frac{\sqrt{N-M}}{\sqrt{N}}}_{=: \cos \alpha} \Psi_{(0)} + \underbrace{\frac{\sqrt{M}}{\sqrt{N}}}_{=: \sin \alpha} \Psi_{(1)}$$

$$\equiv \cos \alpha \Psi_{(0)} + \sin \alpha \Psi_{(1)}$$



Търсдим, че O_f преобразува векторите $\Theta := \cos\theta \Psi_{(0)} + \sin\theta \Psi_{(1)}$, като отражение:

$$O_f \Theta = \underbrace{\cos\theta O_f \Psi_{(0)}}_{(-1)^0 \Psi_{(0)}} + \underbrace{\sin\theta O_f \Psi_{(1)}}_{(-1)^1 \Psi_{(1)}} = \cos\theta \Psi_{(0)} - \sin\theta \Psi_{(1)}$$

отражение спрямо $\Psi_{(1)}$

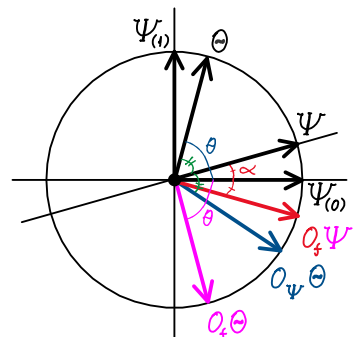
Въвеждаме втори член: $O_\Psi :=$ отражение спрямо Ψ :

$$O_\Psi \Theta = \cos(2\alpha - \theta) \Psi_{(0)} + \sin(2\alpha - \theta) \Psi_{(1)}$$

Положение: член на Гровер:

$$G := O_\Psi O_f =$$
 ротация на езел 2α :

$$G\Theta = \cos(\theta + 2\alpha) \Psi_{(0)} + \sin(\theta + 2\alpha) \Psi_{(1)}$$



Стратегия: искаме $G^{N'} \Psi$ да е близо до $\pm \Psi_{(1)}$

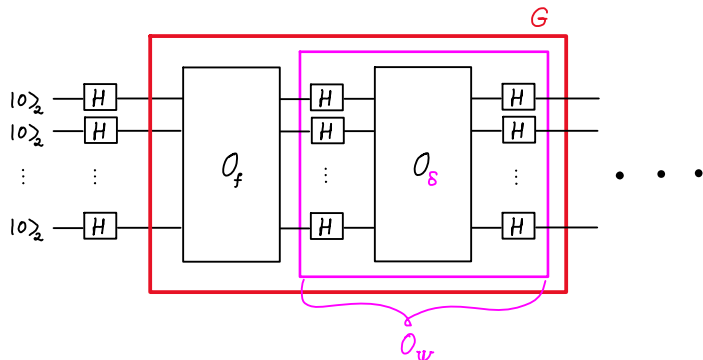
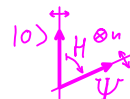
$$\text{Нека } 2N' \approx \frac{\pi}{2\alpha}, \quad G^{N'} \Psi = \cos \underbrace{(2N'+1)\alpha}_{\approx \frac{\pi}{2}} \Psi_{(0)} + \sin(2N'+1)\alpha \Psi_{(1)}$$

$$\alpha = \arcsin \sqrt{\frac{M}{N}} \approx \sqrt{\frac{M}{N}}, \quad N' \sim \sqrt{N}$$

$$\text{Реализация} \quad |0\rangle = |0, \dots, 0\rangle \mapsto H^{\otimes n} |0\rangle = \Psi$$

Основна това: O_δ е отражение спрямо $|0\rangle$. Затова $H^{\otimes n} O_\delta H^{\otimes n} = O_\Psi$

$$\delta(\ell) = \begin{cases} 0, & \ell=0 \\ 1, & \ell \neq 0 \end{cases}$$



Преработена версия на онлайн-записките

2. Дискусия по поводнега за квантов алгоритм

a) Достатъчното определение се базира на редица от квантови вериги (circuits)

$$\{\Gamma_n\}_{n=1}^{\infty}, n = \# \text{ битове}$$

$|l\rangle \left\{ \begin{array}{c} \vdots \\ \Gamma_n \\ \vdots \end{array} \right\} \Gamma_n |l\rangle$, измерване \rightarrow дава резултат l'
 с вероятност $|\langle l' | \Gamma_n | l \rangle|^2$

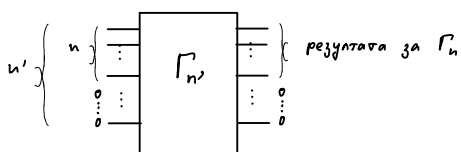
Например, при проблема за факторизација

$$L = P Q \quad \xrightarrow{\Gamma_n} \quad P' - \text{проверяваме}$$

$\underbrace{\Gamma_n}_{\text{последни множители}}$

В квантовия случај изчислителното време е нужно за постигане на верен резултат с вероятност близка до (клоница към) 1.

б) Необходимо е, ако увелишим броя на битовете $n' > n$ да имаме съществуваност:



- такива редица от вериги се наричат съгласувани

= uniform circuit family

6) Нужно е редицата $\{\Gamma_n\}_{n=1}^{\infty}$, от съгласувани (квантови) вериги да е породена алгоритмично (в класически смисъл).

7) Моделът на изчисления с логически вериги в класическия случаи:

Илюстративни източници (аритметични цифрови вериги и анализ на тяхната сложност):

https://www.tutorialspoint.com/digital_circuits/digital_arithmetic_circuits.htm

http://www.engr.siu.edu/haibo/ece428/notes/ece428_arith.pdf

<https://www.cs.tau.ac.il/~shpilka/publications/SY10.pdf>

Наблюдението: В класическите вериги се използват операции (гейтове), които квантово са забранени:



- дублиране / копиране / "клониране"

и необратими операции (гейтове)



(2 бита \mapsto 1 бит)



проблемът за обратими изчисления

https://en.wikipedia.org/wiki/Reversible_computing

[2017-Mo] Theory of reversible computing, by Juraj Morita
http://theo.inrne.bas.bg/~mitov/qi21/notes_df34g2tb3/2017-Mo.pdf

[2010-dV] Reversible Computing Fundamentals, Quantum Computing, and Applications, by Alexis De Vos
http://theo.inrne.bas.bg/~mitov/qi21/notes_df34g2tb3/2010-dV.pdf

[2020-Pr] Reversible Computation 12th International Conference, RC 2020, Oslo, Norway, July 9-10
http://theo.inrne.bas.bg/~mitov/qi21/notes_df34g2tb3/2020-Pr.pdf

[2019-Pr] Reversible Computation 11th International Conference, RC 2019, Lausanne, Switzerland, June 24-25
http://theo.inrne.bas.bg/~mitov/qi21/notes_df34g2tb3/2019-Pr.pdf

[2018-Pr] Reversible Computation 10th International Conference, RC 2018, Leicester, UK, September 12-14
http://theo.inrne.bas.bg/~mitov/qi21/notes_df34g2tb3/2018-Pr.pdf

[2017-Pr] Reversible Computation 9th International Conference, RC 2017, Kolkata, India, July 6-7
http://theo.inrne.bas.bg/~mitov/qi21/notes_df34g2tb3/2017-Pr.pdf

[2016-Pr] Reversible Computation 8th International Conference, RC 2016, Bologna, Italy, July 7-8
http://theo.inrne.bas.bg/~mitov/qi21/notes_df34g2tb3/2016-Pr.pdf

[2015-Pr] Reversible Computation 7th International Conference, RC 2015, Grenoble, France, July 16-17
http://theo.inrne.bas.bg/~mitov/qi21/notes_df34g2tb3/2015-Pr.pdf

[2014-Pr] Reversible Computation 6th International Conference, RC 2014, Kyoto, Japan, July 10-11
http://theo.inrne.bas.bg/~mitov/qi21/notes_df34g2tb3/2014-Pr.pdf

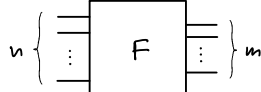
[2013-Pr] Reversible Computation 5th International Conference, RC 2013, Victoria, BC, Canada, July 4-5
http://theo.inrne.bas.bg/~mitov/qi21/notes_df34g2tb3/2013-Pr.pdf

[2012-Pr] Reversible Computation 4th International Workshop, RC 2012, Copenhagen, Denmark, July 2-3
http://theo.inrne.bas.bg/~mitov/qi21/notes_df34g2tb3/2012-Pr.pdf

[2011-Pr] Reversible Computation 3d International Workshop, RC 2011, Gent, Belgium, July 4-5
http://theo.inrne.bas.bg/~mitov/qi21/notes_df34g2tb3/2011-Pr.pdf

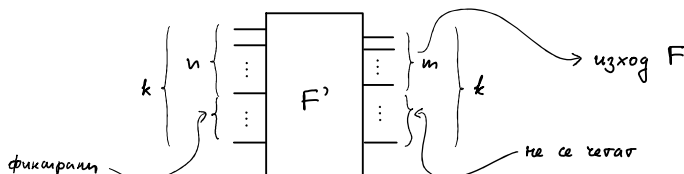
[2020-Re] Reversible Computation-Extending Horizons of Computing, Selected Results of the COST Action IC1405
http://theo.inrne.bas.bg/~mitov/qi21/notes_df34g2tb3/2020-Re.pdf

Проблем: задача логическая верига:



$$F: \{0, \dots, N-1\} \rightarrow \{0, \dots, M-1\}, \quad N = 2^n, \quad M = 2^m$$

да се реализира (входи) всяка верига на обратна функция



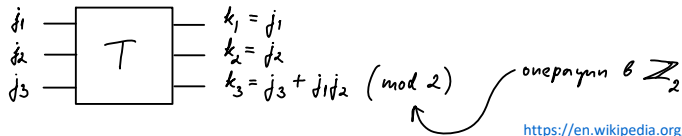
$$F': \{0, \dots, K-1\} \rightarrow \{0, \dots, K-1\}, \quad K = 2^k$$

обратна

F' може да се конструира от един елементарен, обикновен, класически логич

https://en.wikipedia.org/wiki/Toffoli_gate

- заради на
Тофоли



<https://en.wikipedia.org/wiki/GF%282%29>

Обратност: $j_1 = k_1$

$$j_2 = k_2$$

$$j_3 = k_3 + k_1 k_2$$

Задача: обратното изображение на бинарни логичове

$$\{0, 1, 2, 3\} \longleftrightarrow \{0, 1, 2, 3\}$$

$$- \text{общо } 4! = 24$$

- всички те са линейни спремо арифметиката в \mathbb{Z}_2

3. Преглед на понятието за класическо изчисление и алгоритъм и взаимото действие между имплементацията в квантовия случай

<https://plato.stanford.edu/entries/turing-machine/>

https://en.wikipedia.org/wiki/Turing_machine

https://encyclopediaofmath.org/wiki/Quantum_Turing_machine

<https://royalsocietypublishing.org/doi/pdf/10.1098/rspa.2018.0767>

Понятието за квантова машина на Тюринг

$f: (\text{tape symbol}, \text{head state}) \mapsto (\text{tape symbol}, \text{head state}, \text{direction})$

{
} квантово имплементация
↓

амплитуди на вероятността за преход
↪ transition matrix

https://en.wikipedia.org/wiki/Computational_complexity_of_mathematical_operations